



F. 9078. Niveles de yeso del Keuper en el diapiero de Ontur



F. 9079. Lias y Dogger en el anticlinal del Madroño



F. 9080. Aspecto brechoide de las dolomias del Dogger en la Sierra de Cabras



F. 9081. Calizas de Oxfordiense superior en la Sierra de Cabras



F. 9082. Calizas y margocalizas "Ritmita" del Kimmeridgiense inferior



F. 9083. Calizas oolíticas y dolomias del Kimmeridgiense medio en la Sierra de Cabras



F. 9084. Calizas tableadadas del Portlandiense en la Casa de  
los Pollos



F. 9085. Cretacio inferior y Mioceno marino de la Casa de los Pollos





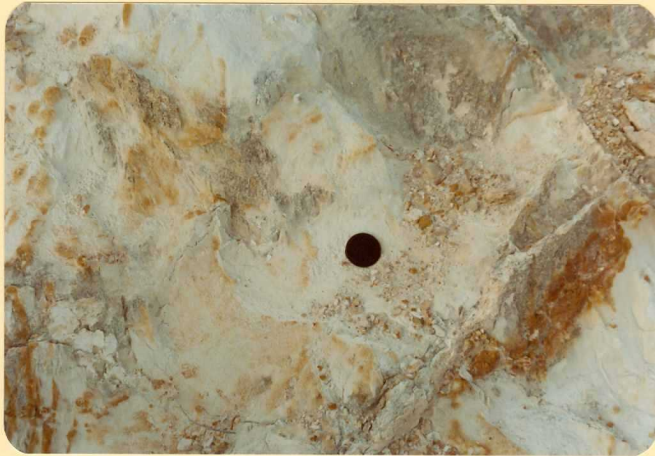
F. 9086. Barra del Aptiense inferior en los Gavilanes



F. 9087. Arenas blancas del Albiense Facies "Utrillas", en la Sierra de la Magdalena



F. 9088. Facies "Utrillas" en la Sierra de la Magdalena



F. 9089. Arenas albienses en Facies "Utrillas" en Cerro  
Lobera



F. 9090. Aspecto general de las Facies "Utrillas" en el Cerro Lobera



F. 9091. Areniscas rojas del Albiense superior (Facies "Utrillas") en la Sierra de Cingla



F. 9092. Aspecto general de las Facies "Utrillas" en la Sierra de la Cingla



F. 9093. Barra de la U-ll (Cenomaniense) en el flanco  
norte del anticlinal del Escabezado





F. 9095. Unidades 12,13 y 14 en la Sierra de la Cingla.  
Cretacio Superior



F. 9096. Vista general del Cretacio Superior (U- 12,13 y 14)  
en la Sierra del Buey



F. 9097. Unidades 11,12,13 y 14 en la Sierra de la Magdalena



F. 9098. Margas rojas y blancas (Turonense? - Senonense)  
en el anticlinal del Escabezado



F. 9099. Cretacio Superior en el núcleo del anticlinal de los Gavilanes



F. 9100. Margas del Campaniense-Maastrichtiense en los Gavilanes



F. 9101. Biocalcarenitas de la unidad 35 en las Grajas



F. 9102. Sinclinal de Mioceno marino en el Alto de las Grajas





F. 9103. Discordancia intramiocena en la Sierra de la Pedrera



F. 9104. Aspecto del Mioceno marino en el Morrón de los Cerrajos



F. 9105. Margas blancas continentales en la depresión de Ontur

F. 9106. Detalle de las Margas blancas continentales





F. 9107. Aspecto de los yesos en la cuenca continental de Ontur



F. 9108. Canales de conglomerados en la cuenca continental de Ontur



F. 9109. Detalle de la foto anterior

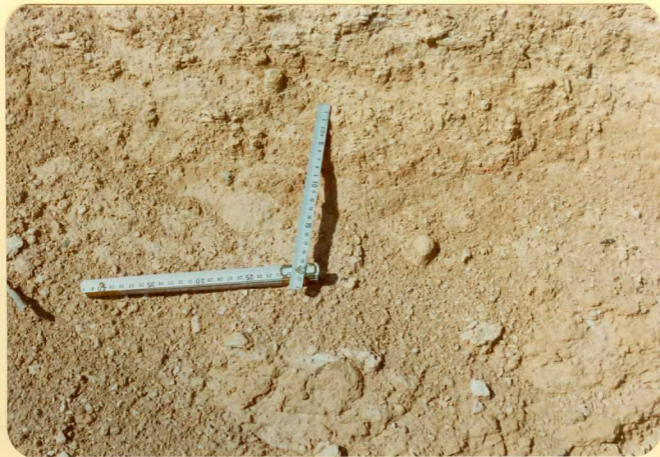


F. 9110. Conglomerados pliocenos de la unidad 40, en la carretera Yecla-Jumilla





F. 9111. Areniscas y arcillas del Plioceno en Casa de los Herreros



F. 9112. Arcillas del Plioceno en la carretera Yecla-Fuente Alamo



F. 9113. Aspecto de la Unidad 43 en la carretera Yecla-Jumilla



F. 9114. Charnela del anticlinal de las Puntillas



F. 9115. Cabalgamiento del Cretacio Superior sobre el Mioceno marino en la Sierra de la Cingla



F. 9116. Cabalgamiento de las calizas oolíticas Kimmerid-  
gienses sobre las Facies "Weald" en los Almendros



F. 9117. Anticlinal de las Puntillas



F. 9118. Anticlinal en la Sierra de Cabra